

## 碎波により生起する渦の挙動について

大阪大学工学部 正員 横木 亨  
大阪大学工学部 正員 岩田 好一郎  
大阪大学大学院 学生員 ○松本 昇

### 1. 緒言

著者らは、昨年の土木学会年次学術講演会において、碎波後の乱れの特性が碎波の型式 (plunging型とspilling型) で大きく異なることを指摘した。すなわち、plunging型碎波の場合、渦形成領域、流体内での気泡連行領域、それ以後波面上での気泡連行領域の三つに分けられるが、spilling型碎波においては渦形成領域がなく、波頭部に気泡を連行するのみである。そこで今回は、渦の規模、渦の移動速度などの渦の挙動について実験的に検討を加え、さらに碎波後の波高変化ならびに、波形変化(非対称性)に及ぼす渦の効果について考察を加えたので、その結果を報告する。

### 2. 実験装置と実験方法

実験水槽は、 $0.7m \times 0.95m \times 30m$  の二次元鋼製水槽を用い、shoalingならびに、戻り流れの影響を避けるために、水平床を用い、その前端部に $1/12$  の勾配の斜面を設け、碎波させた。又碎波後の渦の挙動を調べるため、トレー(四塙化炭素とキシレンで水の比重と等しく作成したもの)を入れ、 $16mm$ 高速シネカメラ(123コマ/秒)で撮影した。なお実験諸元は、表-1のとおりである。

### 3. 実験結果と考察

#### i) 碎波型の分類

碎波は、大きく spilling型と plunging型碎波型式に2分される。図-1に示す様に、一定水深水平床では  $h/L_o$  (水深・沖波波長比) と  $H_o/L_o$  (沖波波形勾配) により碎波型は分類され、 $H_o/L_o$  が大きくなるにつれて Spilling型から plunging型碎波へ移行し、その限界は、ほぼ  $H_o/L_o \approx 0.7 (h/L_o)$  である。この様に  $H_o/L_o$  が大きくなると碎波型式は spilling型から plunging型碎波に移行するが、これは従来一樣勾配傾斜部で得られた結果、つまり、 $H_o/L_o$  が大きくなるにつれて plunging型から spilling型碎波へ移行するという結果と異なる。この差異は、一樣勾配傾斜部での水深変化にともなり shoaling 効果ともどり流れの効果が一定水深水平床では生じないこと、また碎波水深は、一樣傾斜水域と異なり水平床では常に一定

$h$ (水深) cm	$H_o$ (波高) cm	T(周期) sec	$H_o/L_o$
7	3.5	0.8	0.016
	11.5	1.0	1
11	6.0	0.8	0.031
	12.0	1.0	1
14	7.5	0.8	0.033
	11	1.0	1
	13.5	1.2	0.105

表-1 実験諸元

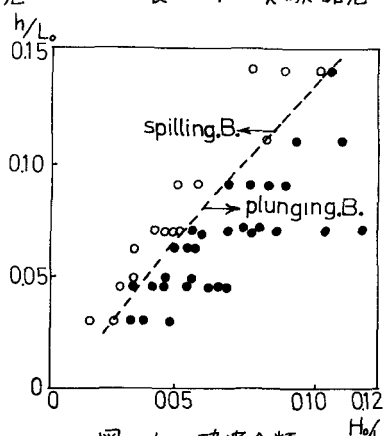


図-1 碎波分類

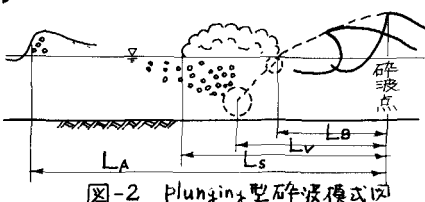


図-2 Plunging型碎波模式図

水深りであるため、入射波高が大きくなるにともないそれだけ多くのエネルギーを急速に放出しなければならなり事に帰因するものと考えられる。

### ii) 碎波時の特性

plunging 型碎波は、図-2 に示す様に碎波後波先が水面と交わり

渦を形成する。それと同時に静水面上に Splash (木のもりあがり) が出来る。渦により進行された気泡は、渦消滅時より上方へ移動し、波頭部前面にのみ残る様になる。図-3 は、碎波点から波面が静水面と交又する地点  $L_B/L$ 、渦の消滅する地点  $L_V/L$ 、Splash の届く地点  $L_S/L$ 、進行された気泡が波面にのみ残る地点  $L_A/L$  の値と  $H_0/L$  の関係を  $h/L$  をパラメータにして示したものである。同図によれば、 $h/L$  の値如何に拘わらず、 $H_0/L$  が大きくなると  $L_B/L$ 、 $L_V/L$ 、 $L_S/L$ 、 $L_A/L$  の順で値が大きくなり、この中でも特に  $L_A/L$  の変化が大きく、波形勾配の大きな波ほど気泡を流体中に進行してくる距離が大きいと言える。一方、 $L_B/L$ 、 $L_V/L$ 、 $L_S/L$  は  $L_A/L$  に対して  $H_0/L$  の変化により大きく変化する事はなく  $L_B/L$  は 0.2、 $L_V/L$  は 0.3、 $L_S/L$  は 0.4 程度となる。又同図より水深によると  $L_A/L$ 、 $L_V/L$ 、 $L_S/L$ 、 $L_B/L$  の変化は明確となり。

### iii) 渦の移動速度と規模

渦は波先が水面と交わる点より生起し、その移動速度は、図-4 に示す様に発生地点で一番速く、振動しながら徐々に減少していく。渦の巣生から消滅までの速度の平均をとり、これを渦の移動速度  $U_{tr}$  として、 $H_0/L$  との関係を示したのが図-5 である。同図より  $U_{tr}$  は  $H_0/L$  が大きくなるにつれてわずかに大きくなるがほぼ波速の 5~6 割である。又渦の最大回転速度  $\omega_0$  を与える半径 ( $r_0$ ) は、 $h=7\text{cm}, 11\text{cm}, 14\text{cm}$ 、とも碎波波高の約 4 割である。 $\omega_0$  の値の一例を示すと、 $h=7\text{cm}, T=1.0\text{sec}, H=8.0\text{cm}$  の波で、 $U_{tr}=70\text{cm/sec}, C=100\text{cm/sec}$  に対し  $\omega_0=95\text{cm/sec}$  の値となりほぼ波速に等しい。

### iv) 碎波後の波高変化に及ぼす渦の効果について

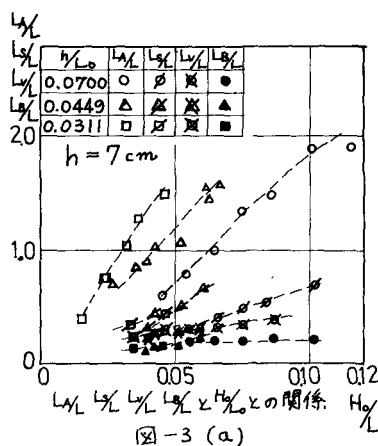


図-3 (a)

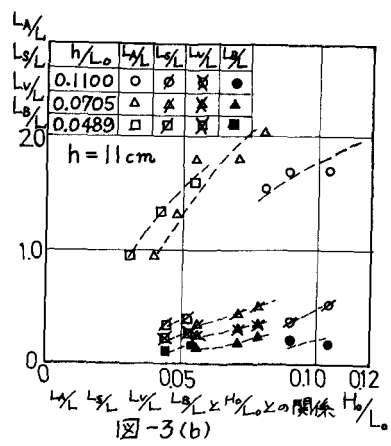


図-3 (b)

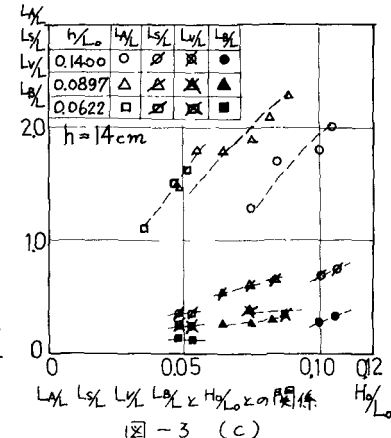


図-3 (c)

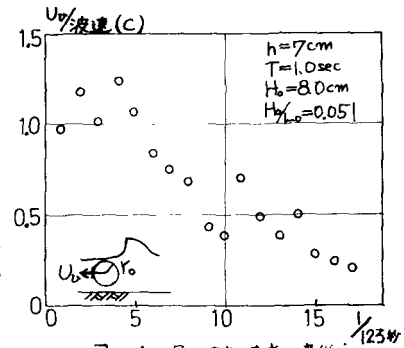


図-4 渦の移動速度の変化:

図-6 の様な Rankine 潟を仮定すると、渦の単位幅当たりのエネルギー  $E_V$  は、(1)式で与えられる。

$$E_V = \frac{1}{16} \pi F (g_0 k_0)^2 (1 + 4 \ln \frac{a}{L_0}) \quad \cdots (1)$$

実験値より渦のエネルギーを計算してみると  $h=7\text{cm}$ ,  $T=1.0\text{sec}$ ,  $H_0=8.0\text{cm}$  の波の場合、実測で得られる  $g_0=95\text{cm/sec}$ ,  $k_0=3.2\text{cm}$ ,  $a=4.9\text{cm}$  (水底より水面までの距離の半分をとる) を用いると、(1)式で与えられる渦のエネルギー  $E_V = 1.91\text{cm/sec}^2$  となり、碎波時より渦が消滅する点までに失う全エネルギー  $E$  が碎波前と同じ表示で計算できるものとすると、碎波波高  $H_B$  と渦消滅地点の波高  $H_V$  から(2)式の様になる。

$$E = \frac{1}{8} g (H_B^2 - H_V^2) L \quad \cdots (2)$$

これにより算定すると  $E = 6.16 \times 10^5 \text{cm/sec}$  となり、渦によるエネルギー逸散率は、渦消滅点までの波高減衰の3割程度である。従って、このことより碎波点より渦消滅点までの急激な波高減衰は、渦のエネルギーだけでなく、

さらに、別な形でエネルギー逸散があり、その一つが渦と同時に形成される splash のエネルギーに、そしてその他は spilling 型碎波の波高減衰と同じ機構によるエネルギー逸散によるものと推察される。一方 spilling 型碎波の碎波後の波高変化は図-7に示されており様に、plunging 型碎波とは異なり既述したように、渦形成をみるため波高減衰が plunging 型よりもやかである。この spilling 型碎波の波高減衰機構は波頭部流速の急激な変化による shear に帰因すると考えられるが、現段階では明確な論議はできぬ。

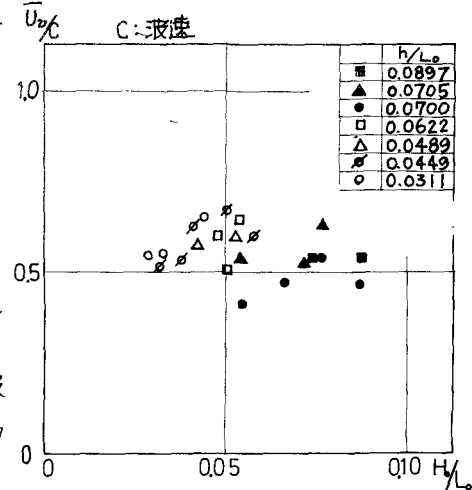


図-5 渦の移動速度

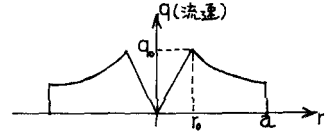


図-6 渦の流速分布

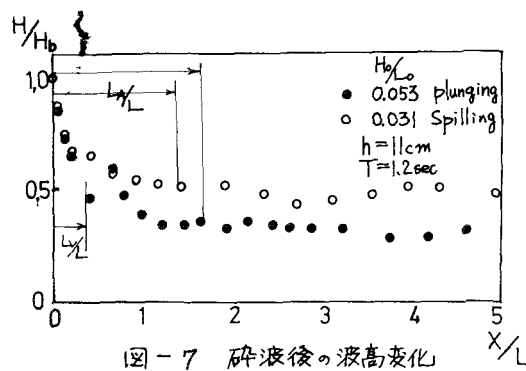


図-7 碎波後の波高変化

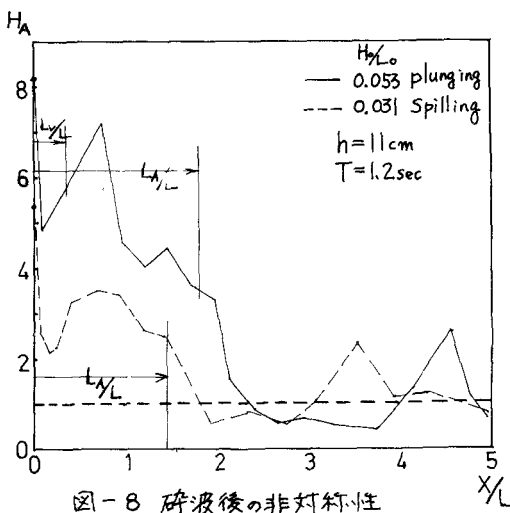


図-8 碎波後の非対称性

## v) 碎波後の波形変化

非対称性  $H_A$  を(3)式の様に定義する。

$$H_A = \frac{\text{波の Crest から波の後面が静水面と交わるまでの時間}}{\text{波の Crest から波の前面が静水面と交わるまでの時間}} \quad \text{--- (3)}$$

図-8はSpilling型、plunging型碎波後の波の進行にともなう時間波形の非対称性について示したものである。同図によれば、 $x/L = LA/L$ までは非対称性が碎波型式如何に拘わらず大きく、 $x/L > LA/L$ になると振動しながら、 $H_A = 1$ に近づき波形が対称性を帯びてくる。このうちplunging型碎波については、この非対称性を図-7の波高変化と対比すると、滑形成をみる $Lv/L$ の領域では波高減衰が大きく、その場合非対称性は $H_A = 3.2 \sim 4.9$ と極めて大きく、ついで $LA/L$ の気泡が波面にのみ残る領域で $H_A = 2.3 \sim 3.8$ となり、ついで $x/L > LA/L$ となると波高変化がほとんどなくなり、又非対称性もなく対称性を帯びてくる。一方spilling型碎波については、plunging型碎波に比して非対称性は大きくなく、渦の波形の対称性に寄与する度合の大ささが判明するが、 $x/L < LA/L$ で $H_A = 5 \sim 2.5$ 、 $x/L > LA/L$ では次第に $H_A = 1$ となる。この場合も波高の減衰が大きいと非対称性が大きく、このことより波高変化と波形の非対称性は著しく相関関係があり、波高減衰の大きさ程、波形の非対称性が著しく、これは碎波後の乱れの特性( $Lv/L$ ,  $Ls/L$ ,  $LA/L$ )に対応していふ事が認められる。なお本実験のデータ整理に多大の労を惜しまなかつた福井正幸氏(里輪省)に感謝の意を表す。

## <参考文献>

- 1) 横木、岩田：碎波後の波高変化に及ぼす乱れの効果について 第27回年次学術講演会講演集